

# 薄壁构件结构计算理论

Н·В·烏爾班著

人民鐵道出版社

## 目 录

前言	1
引言	2
第一章 开口截面薄壁桿件的理論	5
§ 1. 开口截面薄壁桿件之变形及应力的一般理論	5
§ 2. 相等(平衡)条件	8
§ 3. 扭轉中心座標及屬性零點位置的確定	10
§ 4. 扭轉時的正應力	13
§ 5. 扭轉時的剪應力	17
§ 6. 扭轉角的微分方程式	22
§ 7. 對稱及非對稱開口截面幾何特徵的確定	32
§ 8. 對稱截面算例	41
§ 9. 非對稱截面算例	46
§ 10. 與梁彎曲一般理論的比較	53
第二章 閉合截面薄壁桿件的理論	56
§ 1. 閉合截面薄壁桿件自由扭轉時的變形和應力	56
§ 2. 約束扭轉時的變形及應力	60
§ 3. 相等(平衡)條件	61
§ 4. 扭轉中心座標及屬性零點位置的確定	62
§ 5. 閉合截面約束扭轉的正應力	65
§ 6. 閉合截面約束扭轉的剪應力	66
§ 7. 閉合截面扭轉角的微分方程式	69
§ 8. 計算例題	76
第三章 連續梁和影響線	83
§ 1. 三雙力矩定理	83
§ 2. 弯扭因素影響線的構成	90

第四章 計算薄壁桿件位移的一般方法	93
§ 1. 位移的一般公式	93
§ 2. 計算舉例，公式及表	97
第五章 按力法計算薄壁桿件系統	103
§ 1. 一般原理	103
§ 2. 算例	106
第六章 按位移方法計算薄壁桿件系統	113
§ 1. 一般原理	113
§ 2. 算例	129
§ 3. 車輛轉向架金屬剛架的計算	134
第七章 板狀彈性基础上的薄壁梁的弯曲扭轉	152
§ 1. 短梁	152
§ 2. 無限長梁	157
第八章 薄壁截面直線桿件的空間穩定性	160
§ 1. 受中心荷載時開口截面薄壁桿件的穩定性	160
§ 2. 受中心荷載時閉合截面薄壁桿件的穩定性	173
§ 3. 開口截面薄壁桿件受偏心壓力時的穩定性	176
§ 4. 閉合截面薄壁桿件受偏心壓力時的穩定性	179
附录 1 系数数值	182
附录 2 各种槽鋼的补充几何特性	184
附录 3 各种工字鋼的补充几何特性	185
附录 4 指数函数及双曲函数值	186
附录 5 双曲函数公式	191
参考文献	193

## 前　　言

在完成苏联共产党向工程人员及设计人员提出的任务中，将用开口及闭合截面薄壁构件制成的结构的现代计算方法贯彻到实践中去，是有重大意义的。

最具代表性的是：按其荷重情况而论，这种结构是像立体式结构那样工作的。这种立体式的精确的计算理论本身就包含着由於下列两个因素所引起的困难：第一个因素是薄壁，即是存在约束扭转，第二个因素是在空间的工作情况。除此之外，使计算复杂化的原因还在於在上述结构中同时採用开口及闭合截面是极为经常的，这就从基本上破坏了计算方法学的一致性。上述情况造成苏联研究人员在薄壁结构理论方面所获得的带决定性的成就在许多情况下尚未被充分运用到计算的实践中去。

本書拟系统地叙述我国薄壁构件结构的理论基础，这种理论最有利於它实际运用的情况。書中將研究那些說明單个的横断面为任意截面的薄壁构件的工作特征的主要状况，並研究薄壁构件系統的計算理論。

在这里，關於开口和闭合截面构件理論的統一見解是極为重要的，这种見解給予在力法及位移法中的計算提供一般的典型公式。

書中还叙述兩类构件求算位移的一般方法，連續梁、框架的計算，作影响綫。本書尚探討在彈性基础上的薄壁构件的計算及按符拉索夫（В·З·Власов）方法对此类构件的空间稳定性的計算。

在数学方面，全部解答都统一採用初参数法。拟出了实用的計算圖並列举数例。

本書在准备付印时，曾考虑过評論家維諾庫罗夫（М·В·Винскуров），拉杂梁（В·А·Лазарян），及別祖賀夫（Н·И·Безухов）等教授的宝贵指示。

## 引　　言

近二十年來由於許多蘇聯研究專家的努力，創造了用薄壁桿件（工字形、匱形等）製造各種結構的一套完整的計算理論。

實際運用這種理論就可以對鐵路運輸和工業部門所採用的許多新結構的工作，作深入的分析，從而又可以顯著地提高設計結構的經濟效果，而主要的是提高這種結構在使用時的可靠性。

關於新理論的本質的初步概念，可以根據最初步的理論觀點而獲得。我們知道，在圓截面桿件扭轉時，其橫斷面仍為平面，這是與在上述橫斷面中僅產生剪應力的情形相適應的。非圓截面桿件的橫斷面就不同了，它會彎曲——翹曲。薄壁桿件扭轉時橫斷面的翹曲表現得特別明顯。關於這一點看一看橫斷面為工字形的懸臂梁（圖1）被力偶 $L$ 扭轉的情形，就可以明白了。

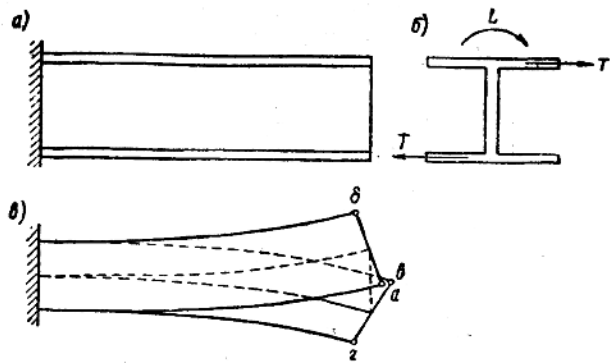


圖　　1

在力偶  $T'$  的影响下产生工字形翼板在水平面上的弯曲。兩塊翼板弯曲的方向將為相反的方向。在力偶未施加前位於一个平面上的橫断面各点  $a$ 、 $b$ 、 $c$ 、 $d$  即將佔有圖 1 所示的位置，它們全都是已經翹曲了的。

如果上述翹曲現象受到某种梁的固着所阻碍，例如在梁的一端为固定端的条件下，則顯見在工字形橫断面中將產生因扭轉作用而引起的正应力。結果，並可产生为弯曲变形时所具有的附加剪应力，但仍然是扭轉所引起的。由此得知，在所研究的薄壁桿件的橫断面中將產生下列種

類的应力：

- 1) 純扭轉剪应力；
- 2) 弯扭正应力；
- 3) 与弯扭正应力相适應的剪应力。

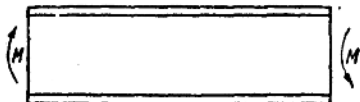


圖 2

所分析之現象謂之約束扭轉，因为在这种情况下橫断面各点之任意的縱向位移是被某些連桿約束或限制的。假如我們設想同样的工字形桿件，該桿件處於方向相反的兩個力偶  $M$  之影响下（圖 2），則在此种情况下，橫断面將沒有阻止翹曲之障碍，而附加正应力及剪应力亦將不会發生。这种現象謂之自由扭轉；在实际中是極少遇到自由扭轉这一現象的。

結果我們得出这样的結論：在薄壁截面中有約束扭轉时产生兩种受力狀況的附加因素——扭轉正应力和剪应力，一般的材料力学公式是不考慮这些应力的。这些数量級是与基本的数量級一样的，因此，不应加以忽視。新的理論对上述复杂的受力狀況的分析提供了充分的可能性。

在鐵路运输部門所採用的結構中（車輛的轉向架及車架，鐵路桥粱的橋面系等等）广泛地运用薄壁桿件，因此，正如从上文的說明中可以看到的那样，正确的薄壁桿件計算理論是具有重大意義的。

这一理論不仅对解决鐵路运输部門的問題有莫大的意義，就是对航空結構、工業建築結構、造船等等也具有同等的意義，所有这些設計上的重大問題都是屬於薄壁桿件約束扭轉理論的运用範圍內的。

由於蘇聯科學家的研究，這一問題獲得了解決。早在1936年蘇聯科學院通訊院士符拉索夫〔1〕就闡明了薄壁桿件——開口截面壳体的一般理論。符拉索夫由於在他所出版的兩本主要著作——《壳体的一般理論》和《薄壁空間結構建築力学》——中總結了自己的理論而在1941年榮獲斯大林獎金一等獎，並於1950年再度獲獎。

符拉索夫教授是蘇聯薄壁結構理論的奠基者，他在我們蘇聯創立了薄壁結構理論這一方面的學派。

閉合截面薄壁桿件的理論首先是由烏曼斯基（А·А·Уманский）教授制訂的，在其著作《薄壁航空結構之弯曲及扭轉》（1939年出版）〔6〕一書中他曾闡明了這一理論。

許多蘇聯的研究專家，在符拉索夫教授所制訂的一般理論原則的基础上，進一步發展了他的理論及該理論的实际运用（參看本書參考文献）。在費洛寧柯-鮑羅第契（М·М·Филоненко-Вородич）教授的《材料力学》的教科書中，首次运用了這一理論。為介紹這一新理論，蘇聯許多著作家，在報刊雜誌上發表了大量的文章和評論，說明了這一理論飛速發展的情景。

從1950年起，蘇聯交通部所屬各高等院校均展开了對這一理論基礎的研究工作。現在，這一理論的各个科目正被日益廣泛地應用到鐵路运输結構的課程設計和畢業設計中去。

## 第一章 开口截面薄壁桿件的理論

### §1. 开口截面薄壁桿件之变形及应力的一般理論

如桿件之橫斷尺寸之一（橫斷面的厚度）較橫斷面的外形的尺寸為小，而外形較桿件長度又显得小时，那末就可以把这种桿件称为薄壁桿件。

根据此一定義，可以得出結論：薄壁桿件，可以視為是一種長形的壳体。

取一任意外形的开口截面薄壁桿件（圖3）为例。引 $z$ 軸與母線平行。在橫斷面的平面上任意选定坐标的原点及 $x$ 、 $y$ 軸的方向。

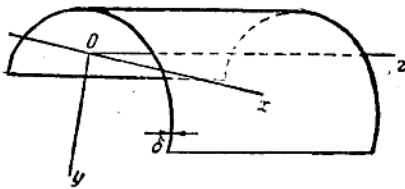


圖 3

然后將全部主要尺寸都根据壳体中間層加以設定（該壳体即所研究之桿件），亦即在平分壳体厚度的表面上設定各主要尺寸。中間層与横断面平面的交叉，称为断面的外形。

假設已知此类壳体横向弯曲的理論，那么就可以按照符拉索夫教授的方法〔1〕来研究一下壳体約束扭轉的理論。我們可以假定旋轉力偶  $L$  對於距离坐标原点为  $z$  的横断面在起着作用。

引用第一个假設：壳体横断面外形在平面上的变形等於零。由於这一假設，得知在圖（圖4）面上的整个断面将在扭轉力偶的影响下像一塊剛性盤开始移动。

假設我們已知断面轉动中心的位置—— $A (a_x, a_y)$  点，我

們就將 A 点称为扭轉中心。

設斷面已經扭轉了一个微角 $\theta$ , 那末就可以写出 $M(x, y)$  点 (該 $M$ 点系取自断面的外形上面) 全部位移在該点外形切線上的投影 (見圖 4)

$$v = h\theta(z), \quad (1)$$

式中  $h$ ——由 $A$ 点引至切線的垂綫;

$\theta(z)$ ——具有座标 $z$  的断面的轉角。对各种断面來說，这个角是 $z$  的函数。

在薄壁桿件扭轉时，除位移 $v$ 外，橫断面各点均作沿母綫的移动，例如，桿件尾端断面上的 $a$ 、 $b$ 、 $c$ 、 $d$ 各点的縱向移动 (見圖 1, 6)。把 $M$ 点 (見圖 4) 的这种移动用 $u(z, s)$  表示之；这个移动將視断面的位置 (坐标 $z$ ) 及 $M(x, y)$  点在断面外形上的位置而定 (坐标 $s$ ——弧的長度，它確定 $M$ 点之位置)。

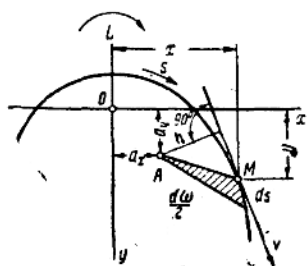


圖 4

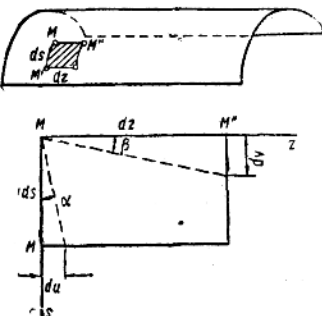


圖 5

通过早已由公式 (1) 确定的函数 $v$ 来表示 $u(z, s)$ 。

为此再引进第二个假設：在壳体中層的剪切变形等於零。可以看一看这一变形。自中層在 $M$ 点划出無限小的面积 $ds \times dz$  (圖 5)。

正如上文所解釋的那样，我們認為在这一点中有位移 $u$  (沿母綫) 和 $v$  (沿切綫)。在外形的弧上於 $M$ 点附近取一点 $M'$ 。 $M'$

这一点沿母線的位移較之  $M$  点的位移將有  $du$  之差。同样，与  $M$  点沿母線相距  $dz$  的另一点  $M''$ ，其在外形切線方向量得的位移，將和  $M$  点的位移有所差別，其相差为沿切線之位移增加数值  $dv$ 。由数值  $du$  及  $dv$  可确定在  $M$  点的角变形（即剪切变形）数值

$$\gamma = \alpha + \beta = \frac{du}{ds} + \frac{dv}{dz}, \quad (2)$$

式中  $\alpha$  及  $\beta$  已在圖中表明（見圖 5）。

因为：

$$du = \frac{\partial u}{\partial s} ds; \quad dv = \frac{\partial v}{\partial z} dz,$$

因而代入方程式 (2) 后得：

$$\gamma = \frac{\partial u}{\partial s} + \frac{\partial v}{\partial z}. \quad (3)$$

方程式 (3) 应与第二个假設  $\gamma = 0$  相符，则得

$$\frac{\partial u}{\partial s} + \frac{\partial v}{\partial z} = 0. \quad (4)$$

对  $s$  实行分部积分解方程式 (4) 求得未知函数  $u$ ，

$$u(z) = u_0(z) - \int_0^z \frac{\partial v}{\partial z} ds. \quad (5)$$

这里  $u_0(z)$  为横断面上  $M_0$  点沿母線之位移（圖 6），从这一点开始沿弧  $s$  积分。

将根据公式 (1) 求得的  $v$  值代入 (5) 式，

$$u(z) = u_0(z) - \theta'(z) \int_0^z h ds. \quad (6)$$

$h ds$  之积等於靠弧  $ds$  的元素扇形面  $\frac{d\alpha}{2}$  的兩倍面积（見圖 4）。写成

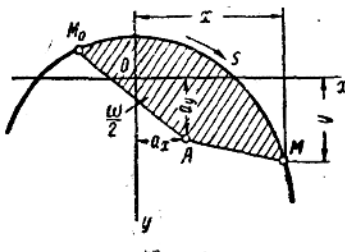


圖 6

$$\omega = \int_0^s h ds_0 \quad (7)$$

$\omega$  之值为靠弧扇形  $M_0AM$  的兩倍面积 (見圖 6)，為沿該弧实行积分而得。因而，由式 (6) 及 (7) 得

$$u(z) = u_0(z) - \theta'(z)\omega \quad (8)$$

根据式 (8)，求得  $\varepsilon_z$ ——在  $M$  点沿母線的相对变形：

$$\varepsilon_z = \frac{\partial u}{\partial z} = u'_0(z) - \theta''(z)\omega \quad (9)$$

假設沒有縱向纖維的互相挤压，进而去求与母線平行的正应力。这一假設完全与通常在横向撓曲梁理論中所作的一样。根据此一假設，对單軸受力状态我們可运用虎克定律：

$$\sigma_z = \varepsilon_z E \quad (10)$$

由式 (9) 及 (10) 得

$$\sigma_z = E [u'_0(z) - \theta''(z)\omega] \quad (11)$$

式中  $E$ ——縱向彈性系数。

## §2. 相等 (平衡) 条件

因为在壳体的橫断面上根据开始的条件只作用有扭轉力偶  $L$ ，所以斷面內力成分——縱向力  $N_z$  及繞  $x$  和  $y$  軸的力矩  $M_x$  和  $M_y$  是都不存在的，我們可写出：

$$N_z = 0; M_x = 0; M_y = 0 \quad (12)$$

通过正应力以积分式表示条件 (12)，可得

$$\int_F \sigma_z dF = 0; \int_F \sigma_z x dF = 0; \int_F \sigma_z y dF = 0 \quad (13)$$

式中  $dF$ ——壳体橫断面的元素面积。把表示正应力的式 (11) 代入 (13)，並用  $E$  約后得出：

$$\left. \begin{array}{l} u'_0(z) F - \theta'' \int_F \omega dF = 0; \\ u'_0(z) \int_F x dF - \theta'' \int_F \omega x dF = 0; \\ u'_0(z) \int_F y dF - \theta'' \int_F \omega y dF = 0. \end{array} \right\} \quad (14)$$

首先我們应注意，就是在(14)各公式中包括有壳体横断面的几何的积分特性，以下面各式表示之：

$$\int_F \omega dF; \quad \int_F \omega x dF; \quad \int_F \omega y dF. \quad (15)$$

第一个积分有静力矩的結構，而扇形面积的值起着《臂》的作用；所以它被称为——扇性静力矩。

后两个积分各为对应各轴的线扇性力矩。引入符号：

$$S_{\omega} = \int_F \omega dF \text{——扇性静力矩}; \quad (16)$$

$$\left. \begin{array}{l} U_{\omega_x} = \int_F \omega y dF \\ U_{\omega_y} = \int_F \omega x dF \end{array} \right\} \text{线扇性力矩}. \quad (17)$$

現在轉到關於滿足方程組(14)的問題，可以看出，在(1)、(8)、(11)以及以后的各式中都列有取決於参数的数值，这些参数直到現在还是不定的或未知的数值。这种参数，首先是扇性面积讀数的开始，也即是被称为扇性零点 $M_0$ 的位置，然后是扭轉中心A的兩個坐标 $a_x$ 及 $a_y$ （見圖4和圖6）。

第一个参数的值（即扇性零点在斷面外形上的位置），我們选择时是使方程組(14)中的第一个方程式的扇性静力矩等为零，即：

$$\int_F \omega dF = 0.$$

那么从同一方程式里还可求得\*

$$u'_0(z) = 0,$$

因而，从方程组(14)的最后两个方程式中得

$$\int_P \omega x dF = 0; \quad \int_P \omega y dF = 0.$$

这样一来，满足平衡方程组(14)的三个未知参数，可从下面方程组找出：

$$\int_P \omega dF = 0; \quad \int_P \omega x dF = 0; \quad \int_P \omega y dF = 0. \quad (18)$$

应当把方程组(18)用来研究上述三个未知值——属性零点位置及坐标 $a_x$ 及 $a_y$ 。

在下一节我們詳細研究这个过程。現在只指出，当 $u'_0(z) = 0$ 时我們可得到 $u_0(z) = \text{常数}$ 。

在这种条件下正应力的公式(11)就將具有特殊簡單形式

$$\sigma z = -E\theta''\omega. \quad (19)$$

位移  $u(z) = u_0(z) - \theta'(z)\omega.$

### § 3. 扭轉中心座標及属性零點位置的確定

我們且在一般的圖形中研究找尋 $M_0$ 點及 $a_x$ 和 $a_y$ 座標位置的問題，全部議論都對前已採用的任意軸 $x, y, z$ 來談（不將其改變為對主中心軸）。

選擇座標為 $b_x, b_y$ 的任意點 $B$ 為極點。以 $\omega_a$ 及 $\omega_b$ 分別代表由扭轉中心 $A$ 及極點 $B$ 所形成的属性面積（圖7）。

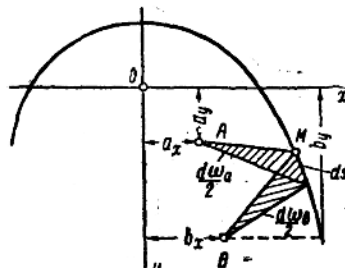


圖 7

\* 相對伸長率 $u'_0(z)$ 對於帶有坐标的斷面來說是常數值（與 $x$ 和 $y$ 坐標無關）。積數 $u'_0(z)EI'$ 是縱向力，它相等於平均分配在斷面上的正應力的作用。式 $u'_0(z) = 0$ 按物理意義來說是由於式(12)的第一條件產生的。

列出表示这二面积相互关系的式子。

为此，須預先按直角座标列出扇性面积的微分式子。

当極与座标原点相等时，得（圖 8）

$$d\omega = h ds,$$

以座标  $x$ 、 $y$  来表示

臂  $h$ :

$$h = x \sin \alpha - y \cos \alpha,$$

求得

$$d\omega = h ds = x ds \sin \alpha$$

$$- y ds \cos \alpha,$$

但因为

$$ds \sin \alpha = dy \text{ 和}$$

$$ds \cos \alpha = dx,$$

那末

$$d\omega = x dy - y dx. \quad (20)$$

随后对極  $A$  和  $B$  利用式 (20)，得

$$d\omega_a = (x - a_x) dy - (y - a_y) dx;$$

$$d\omega_b = (x - b_x) dy - (y - b_y) dx.$$

用減法得出

$$d(\omega_a - \omega_b) = (a_y - b_y) dx - (a_x - b_x) dy.$$

採用符号

$$\alpha_x = a_x - b_x; \quad \alpha_y = a_y - b_y. \quad (21)$$

值  $\alpha_x$ 、 $\alpha_y$  是由在正坐标軸方向上的任意極点  $B$  所計算出的扭轉中心（極点  $A$ ）的相对坐标。

現在將有

$$d(\omega_a - \omega_b) = \alpha_y dx - \alpha_x dy.$$

积分后得出

$$\omega_a = \omega_b + \alpha_y x - \alpha_x y + \beta, \quad (22)$$

式中  $\beta$  —— 积分常数。

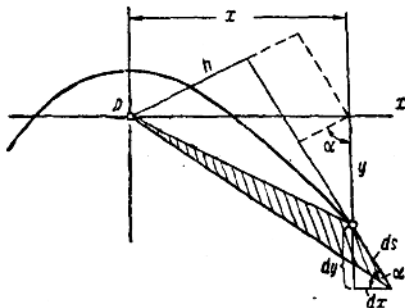


圖 8

应当把公式 (22) 当做在極點变更时属性面积改变的式子。

現在我們直接轉到寻找扭轉中心坐标，以及属性零点位置。

为此目的把 $\omega_a$ 面积值替 $\omega_b$ 代入 (18)，积分后得到以下方程組：

$$\left. \begin{array}{l} \alpha_x I_x - \alpha_y I_{xy} - \beta S_x = U_{\omega_b} x; \\ \alpha_x I_{yx} - \alpha_y I_y - \beta S_y = U_{\omega_b} y; \\ \alpha_x S_x - \alpha_y S_y - \beta F = S_{\omega_b}. \end{array} \right\} \quad (23)$$

在这个方程組中未知数  $\alpha_x$ 、 $\alpha_y$ 、 $\beta$  作为未知数，並且像我們下面見到的一样， $\beta$  值能确定属性面积讀數的起点。方程組中所有的系数按下面各公式計算：

$$\left. \begin{array}{l} I_x = \int y^2 dF; \quad I_y = \int x^2 dF; \quad I_{xy} = \int xy dF; \\ S_x = \int y dF; \quad S_y = \int x dF; \quad S_{\omega_b} = \int \omega_b dF; \\ U_{\omega_b} x = \int \omega_b y dF; \quad U_{\omega_b} y = \int \omega_b x dF. \end{array} \right\} \quad (24)$$

包括在 (24) 各公式中的积分，遍及横断面的整个面积。

方程組 (23) 中的系数 (24) 能滿足互換关系条件，所以为了同时解方程式可有利地採用算术漸近法計算。

这样决定  $\alpha_x$ 、 $\alpha_y$ 、 $\beta$  各值后，然后按公式 (22) 計算那被称为主属性面积圖形 $\omega_c$ 的縱距。

主属性面积將滿足各基本条件 (18)，亦即是对适当选出的極點（在扭轉中心中）和属性面积計算的起点所求出的。属性零点的位置按照圖形 $\omega_a$ 与横断面外形相交可以自然而然的求出。

对任意坐标軸求得方程組 (23)，不用事先計算主中心軸的位置，这样就可以保証減少計算工作的数量。

如果軸  $x$ 、 $y$  为主中心軸，那么各方程式就簡化\*，我們得到

\* 如果軸  $xy$  为主中心軸，那么

$$I_{xy} = S_x = S_y = 0.$$

$$\alpha_x = -\frac{U_{\omega_b} x}{I_x}; \quad \alpha_y = -\frac{U_{\omega_b} y}{I_y}; \quad (25)$$

$$\beta = -\frac{S_{\omega_b}}{F}. \quad (26)$$

为求主属性面积  $\omega_a$ ，仍用公式 (22)。对于有对称轴的断面，最好使用公式 (25) 和 (26)。

對於对称断面，不管公式 (25) 和 (26) 怎样明显的簡化，於任意軸使用一般的方法仍为最簡單的計算方法，其唯一的困难是解三元联立方程式，这种困难在这个方法上必須克服。

我們可以看出，我們所說明的在数学方面的变化，完全与对任意軸  $x$ 、 $y$  的正应力構成理論相似，對於力作用在梁上的一般情况，該正应力滿足平面定律。\*

$$\sigma = Ax + By + C.$$

$\alpha_x$ ,  $\alpha_y$ ,  $\beta$ 各值將相當於  $A$ ,  $B$ ,  $C$ 数值。

#### §4. 扭轉时的正应力

列出所謂双力矩的特殊形式的积分式子：

$$B_z = \int_F \sigma_z \omega dF. \quad (27)$$

此式包含有內力力矩的概念，並且属性面积的大小对元素力  $\sigma_z dF$  起着《臂》的作用。把对  $\sigma_z$  的式 (19) 代入公式 (27)，得

$$B_z = -E\theta'' \int_F \omega^2 dF = -E\theta'' I_\omega. \quad (28)$$

式中

$$I_\omega = \int_F \omega^2 dF. \quad (29)$$

\* (參看 M.M. 費洛齊柯-鮑羅第契教授所著的材料力学一書，第一卷，國家技术出版社，1949年出版)。

从式(28)求得

$$\theta'' = - \frac{B_z}{EI_w} \omega. \quad (30)$$

将此数值代入正应力 $\sigma_z$ 的公式(19)，求得

$$\sigma_z = - \frac{B_z \omega}{I_w}. \quad (31)$$

我們得到了薄壁截面弯曲扭轉理論的主要公式。它表示薄壁截面构件受約束扭轉时的正应力改变的規律。与純弯曲时正应力按平面規律变化不同，在約束扭轉时，正应力系要隨屬性面积变化規律。

公式(31)中的 $\omega$ 为要研究其应力的断面上的一点的主屬性面积； $I_w$ 为横断面主屬性面积慣性矩。 $B_z$ 之值可用扭轉角的微分方程式的积分求算之(参阅<sup>6</sup>)。 $\sigma_z$ 的正数值相當於纖維受拉。

假如在构件断面上，除扭轉外，重心作用有法向力 $N_z$ ，以及繞該断面主中心軸的弯曲力矩 $M_x$ 、 $M_y$ ，則正应力的公式將為：

$$\sigma_z = \frac{N_z}{F} + \frac{M_x}{I_x} y - \frac{M_y}{I_y} x + \frac{B_z \omega}{I_w}, \quad (32)$$

式中  $F$ ——横断面的面积；

$I_x$ 和 $I_y$ ——断面的主中綫慣性力矩；

$x$ 和 $y$ ——断面上点对主軸的坐标。

法向力，为拉力时被認為是正数。力矩 $M_x$ 和 $M_y$ 的向量与相应的坐标軸方向相符合时为負数(力矩向量的方向按螺旋規則計算)。当形成屬性面积的向量半徑順時針旋轉时，屬性面积 $\omega$ 將为正数。

對於薄壁截面之所以需要有第四个被加数，可以很容易地用分解压力 $P$ 为四个組成部份的例子來說明(圖9, a)。各組成部份的合力为力 $P$ 。分解成中心受压(圖9, δ)，对 $x$ 軸的撓曲(圖9, ε)，对 $y$ 軸的撓曲(圖9, z)，以及最后由第四个被加数計算出的工字形翼钣的撓曲(圖9, θ)。